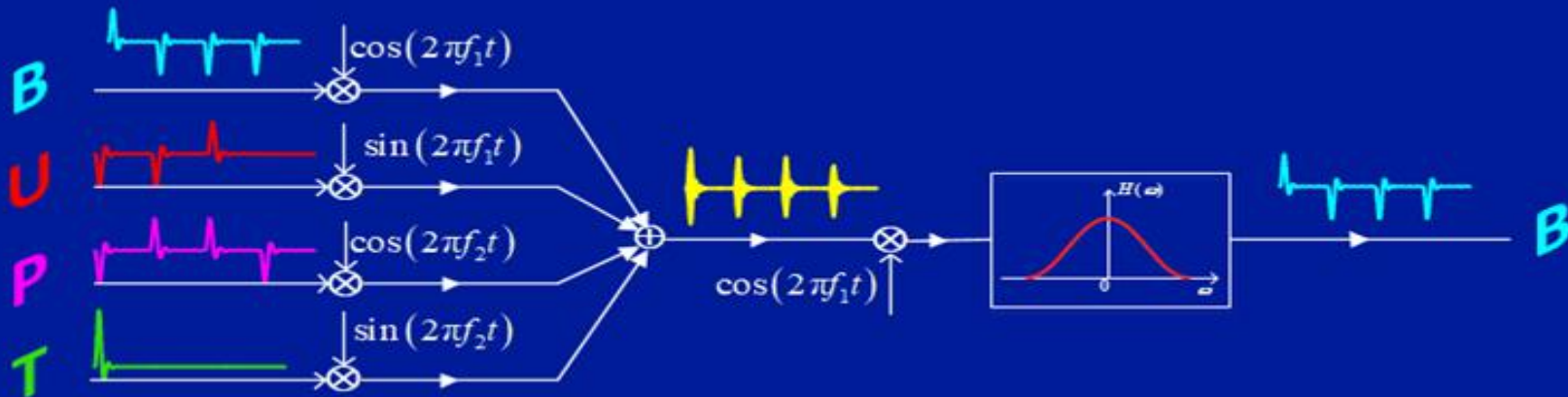


北京邮电大学

Beijing University of Posts and Telecommunications

第三章 连续时间信号的频域分析

3.5 典型周期信号的傅里叶级数

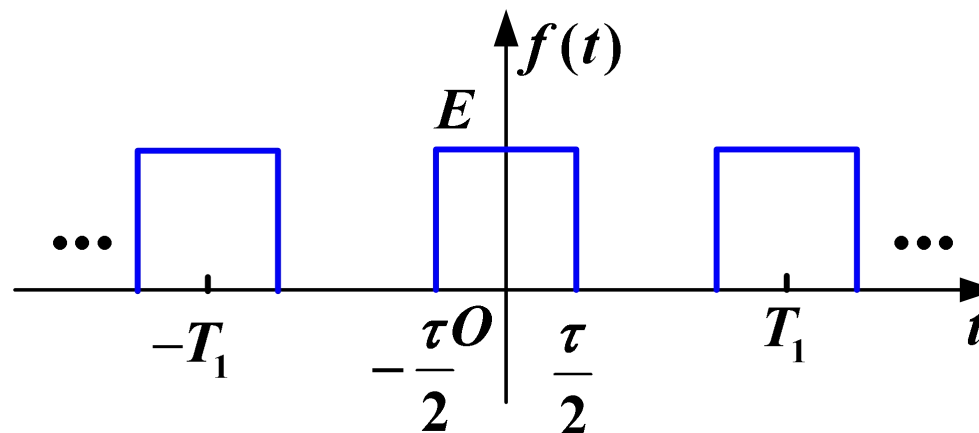


► 主要内容

- 周期矩形脉冲序列的频谱结构
- 吉伯斯现象
- 频带宽度

► 1. 周期矩形脉冲序列的频谱结构

(1) 三角形式的谱系数



脉宽为 τ
周期为 T_1
脉冲高度为 E

$$a_0 = E \frac{\tau}{T_1} \left(\frac{\tau}{T_1} : \text{占空比} \right)$$

$$f(t) \text{ 为偶函数} \rightarrow b_n = 0 \quad F_n = \frac{1}{2}(a_n - j b_n) = \frac{1}{2} a_n$$

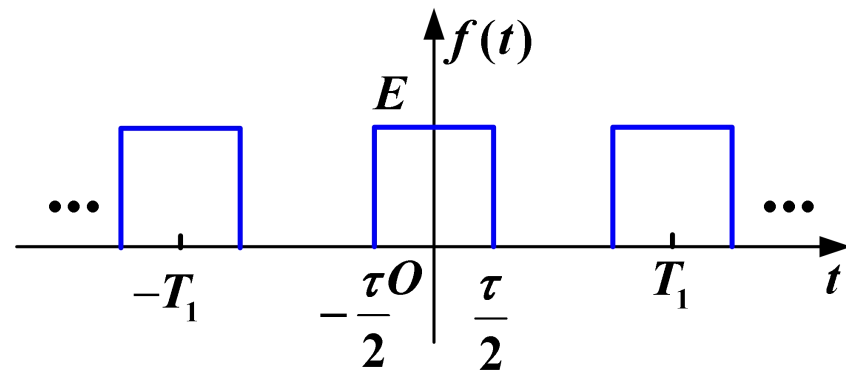
► (2) 指数形式的谱系数

$$F_n = \frac{1}{T_1} \int_{-\frac{T_1}{2}}^{\frac{T_1}{2}} f(t) e^{-jn\omega_1 t} dt$$

$$= \frac{1}{T_1} \int_{-\frac{\tau}{2}}^{\frac{\tau}{2}} E e^{-jn\omega_1 t} dt$$

$$= \frac{E}{T_1} \frac{1}{-jn\omega_1} e^{-jn\omega_1 t} \bigg|_{-\frac{\tau}{2}}^{\frac{\tau}{2}}$$

$$= \frac{-E}{jn\omega_1 T_1} \left(e^{-jn\omega_1 \frac{\tau}{2}} - e^{jn\omega_1 \frac{\tau}{2}} \right)$$



$$\omega_1 = \frac{2\pi}{T_1}$$

► (2) 指数形式的谱系数

$$F_n = \frac{-E}{jn\omega_1 T_1} \left(e^{-jn\omega_1 \frac{\tau}{2}} - e^{jn\omega_1 \frac{\tau}{2}} \right)$$

$$= \frac{2E}{n\omega_1 T_1} \sin \left(n\omega_1 \frac{\tau}{2} \right)$$

$$= \frac{E\tau}{T_1} \frac{\sin \left(n\omega_1 \frac{\tau}{2} \right)}{n\omega_1 \frac{\tau}{2}}$$

$$= \frac{E\tau}{T_1} \text{Sa} \left(n\omega_1 \frac{\tau}{2} \right)$$

► (3) 频谱及其特点 图中 $T_1 = 5\tau$

$$F_n = \frac{E\tau}{T_1} \text{Sa}\left(n\omega_1 \frac{\tau}{2}\right)$$

$$\text{包络函数: } \frac{E\tau}{T_1} \text{Sa}\left(\omega \frac{\tau}{2}\right)$$

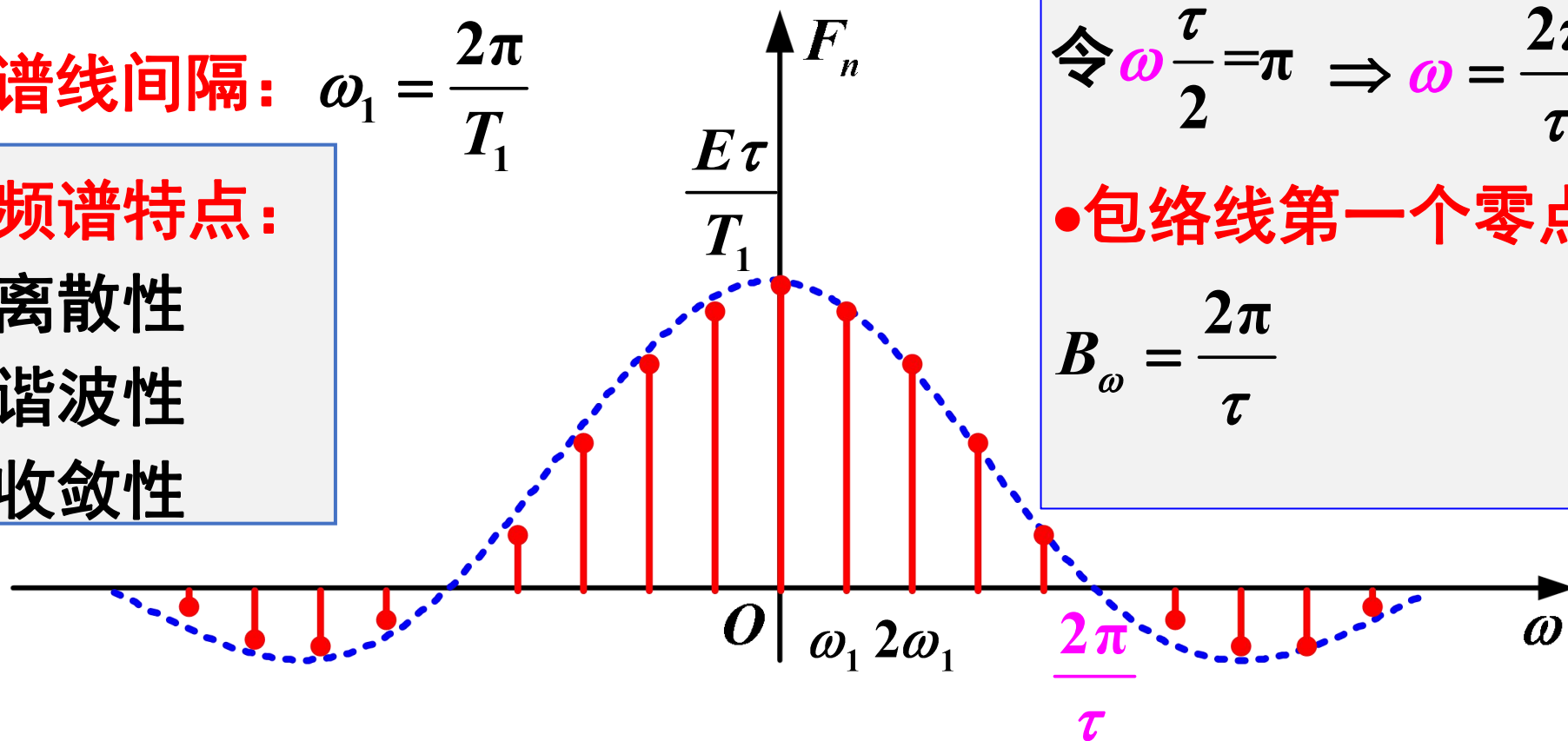
谱线间隔: $\omega_1 = \frac{2\pi}{T_1}$

频谱特点:

离散性

谐波性

收敛性

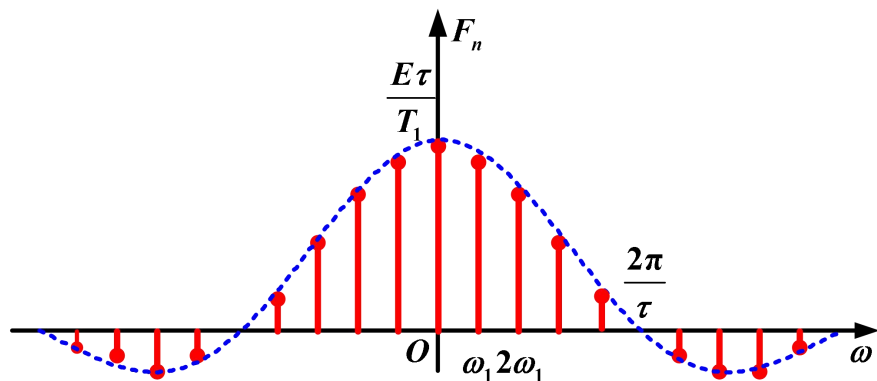


$$\text{令 } \omega \frac{\tau}{2} = \pi \Rightarrow \omega = \frac{2\pi}{\tau}$$

• 包络线第一个零点:

$$B_\omega = \frac{2\pi}{\tau}$$

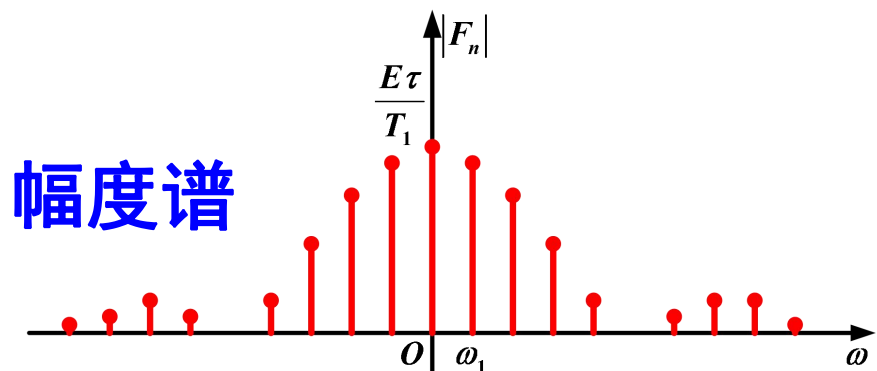
► (3) 频谱及其特点



• $F_n > 0$:

$$F_n = |F_n| \cdot \mathbf{1} = |F_n| \cdot e^{j0}$$

相位为 0

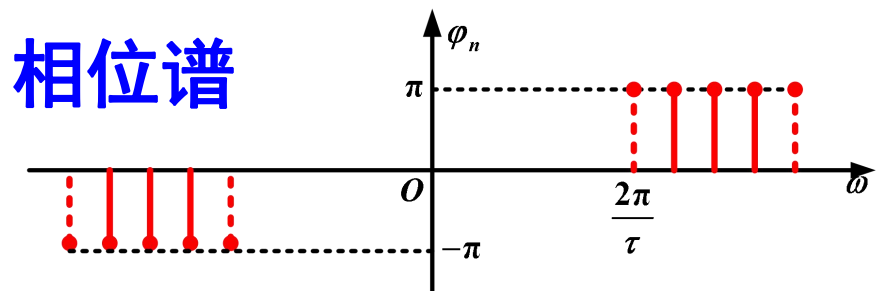


幅度谱

• $F_n < 0$:

$$F_n = |F_n| \cdot (-1) = |F_n| e^{j(\pm\pi)}$$

相位为 $\pm\pi$



相位谱

► (3) 频谱及其特点

$$F_n = E \frac{\tau}{T_1} \text{Sa} \left(n\omega_1 \frac{\tau}{2} \right)$$

- **E** : F_n 与 E 成正比。

- **脉宽 τ** : 包络线第一个零点 $B_\omega = \frac{2\pi}{\tau}$, 和 τ 成反比,

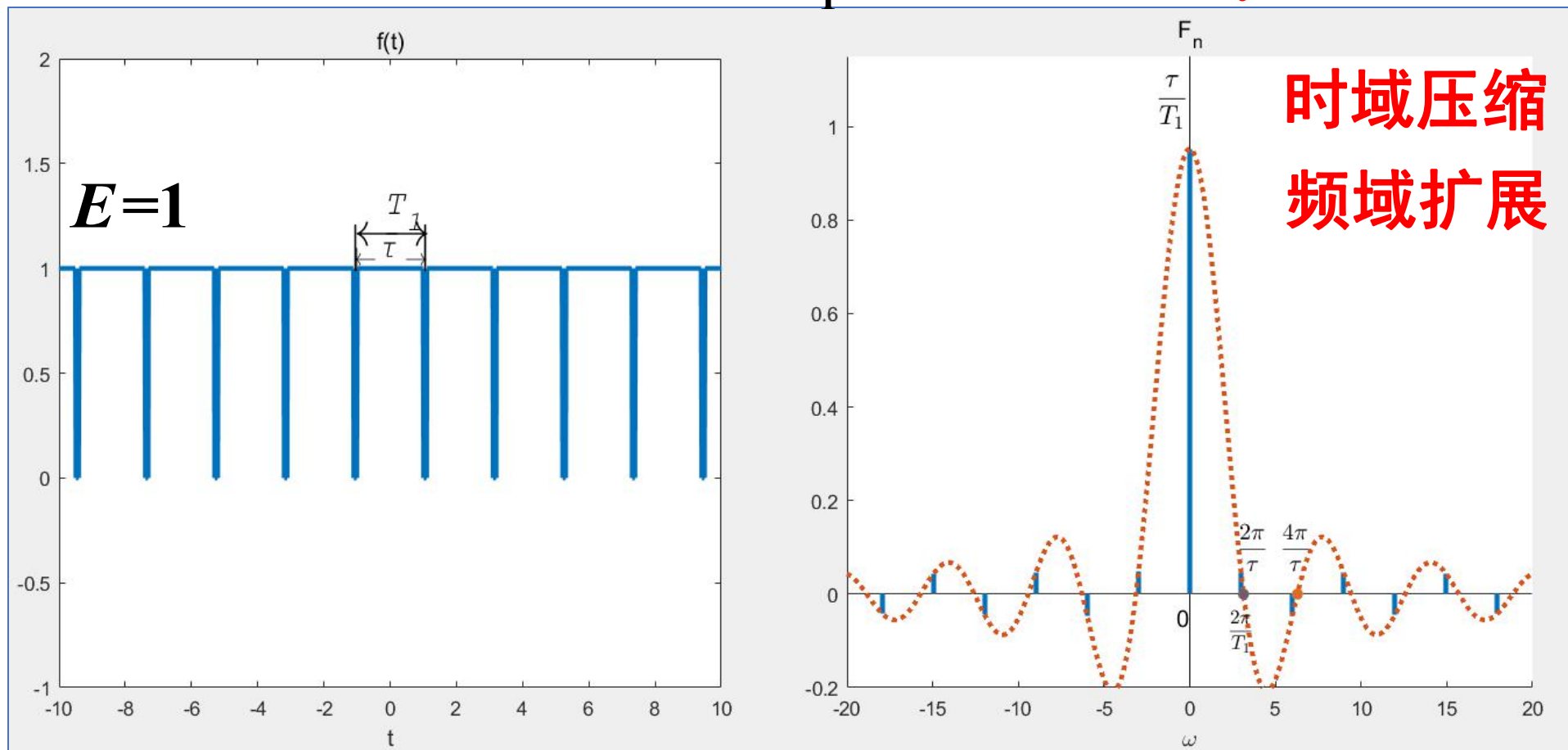
时域压缩, 频域扩展

- **周期 T_1** : 谱线间隔 $\omega_1 = \frac{2\pi}{T_1}$, T_1 越大, 谱线间隔越小。

► (3) 频谱及其特点

$$F_n = E \frac{\tau}{T_1} \text{Sa} \left(n\omega_1 \frac{\tau}{2} \right)$$

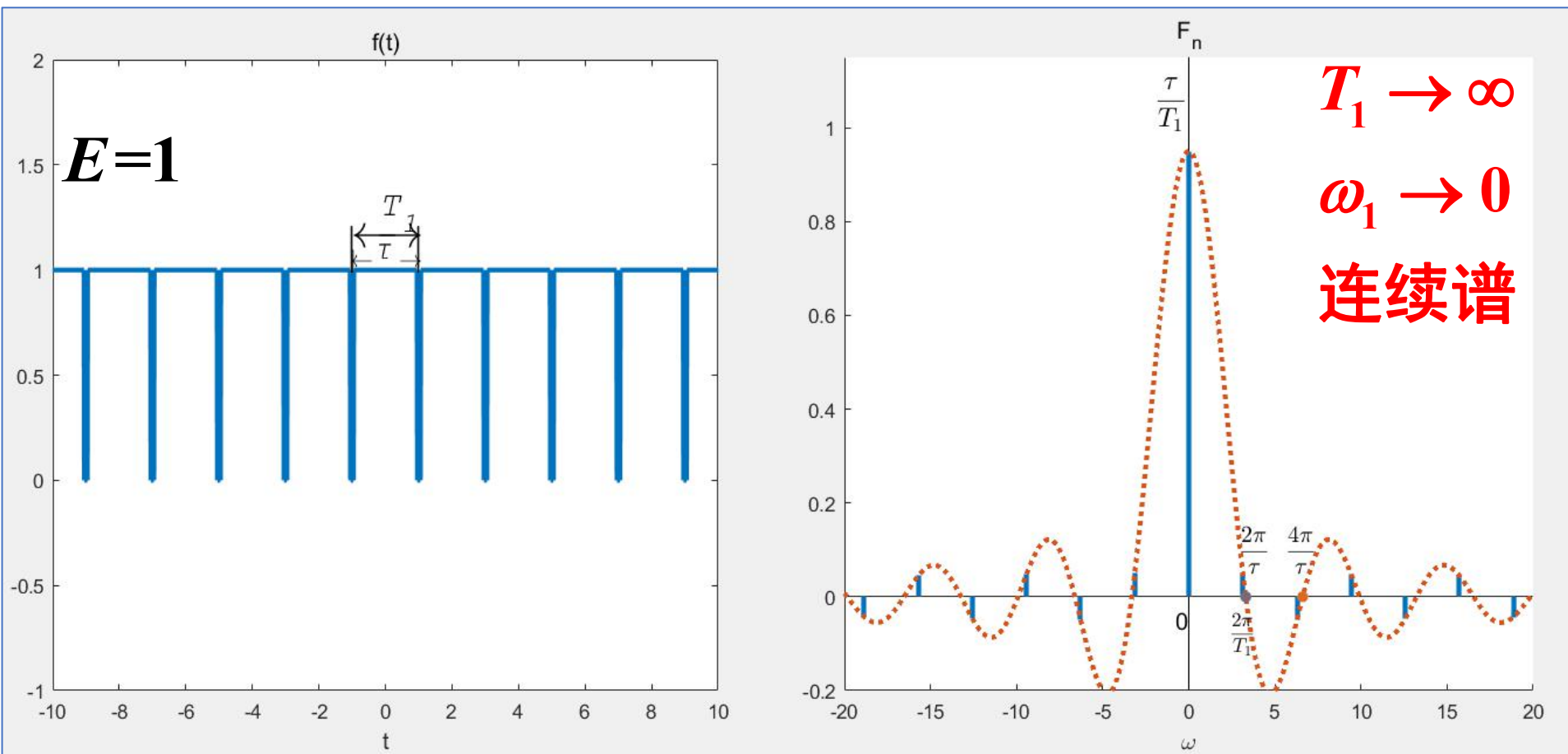
T_1 不变, τ 变小 $\Rightarrow \omega_1 = \frac{2\pi}{T_1}$ 不变, $B_\omega = \frac{2\pi}{\tau}$ 变大



► (3) 频谱及其特点

$$F_n = E \frac{\tau}{T_1} \text{Sa} \left(n\omega_1 \frac{\tau}{2} \right)$$

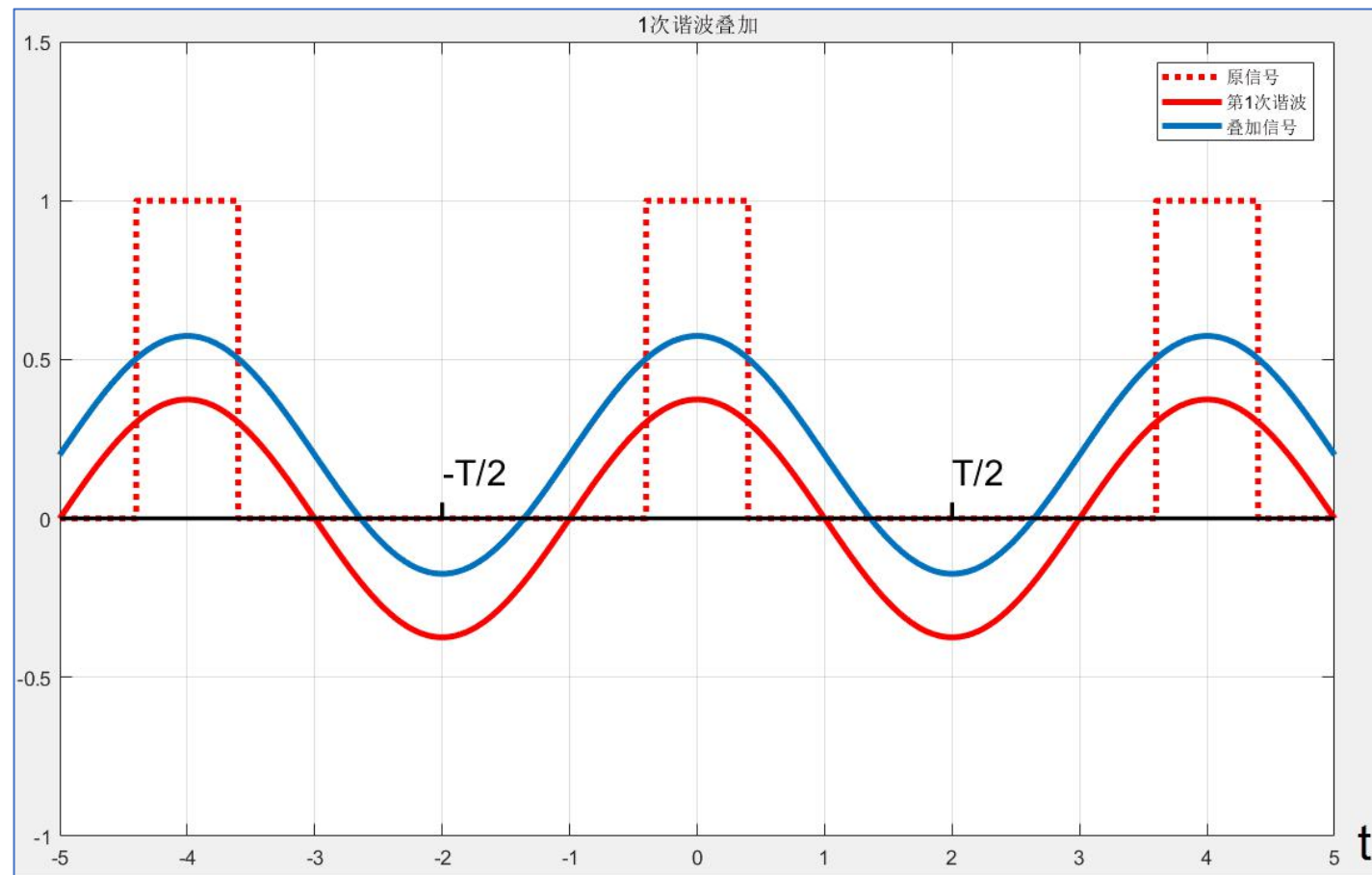
τ 不变, T_1 增加 $\Rightarrow \omega_1 = \frac{2\pi}{T_1}$ 减小, $B_\omega = \frac{2\pi}{\tau}$ 不变



► (4) 傅里叶级数合成

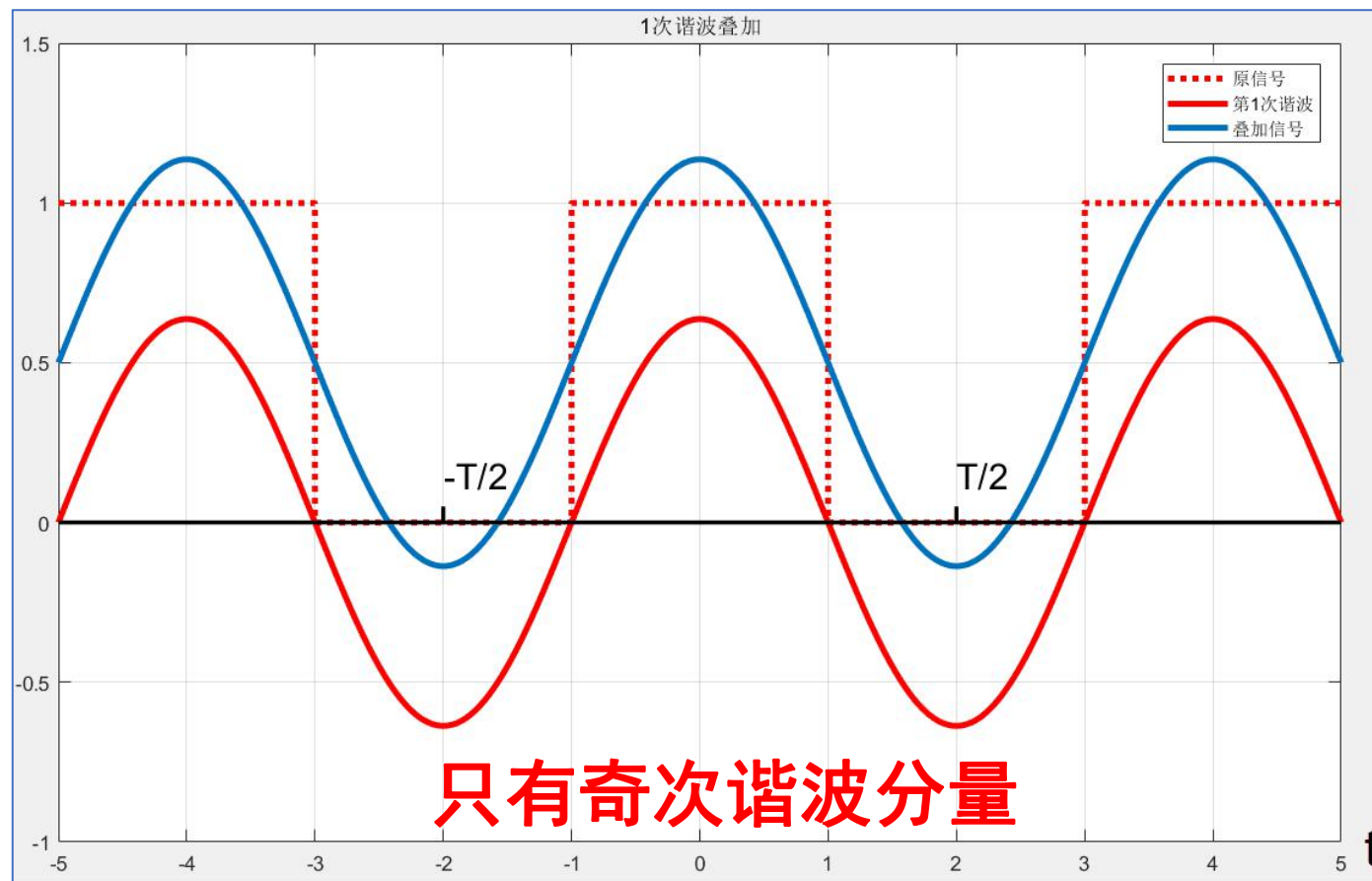
$$\begin{aligned} f(t) &= \sum_{n=-\infty}^{\infty} E \frac{\tau}{T_1} \text{Sa} \left(n\omega_1 \frac{\tau}{2} \right) e^{jn\omega_1 t} \quad \left(\omega_1 = \frac{2\pi}{T_1} \right) \\ &= E \frac{\tau}{T_1} + 2E \frac{\tau}{T_1} \sum_{n=1}^{\infty} \text{Sa} \left(n\omega_1 \frac{\tau}{2} \right) \cos(n\omega_1 t) \end{aligned}$$

► (4) 傅里叶级数合成, 占空比为20%



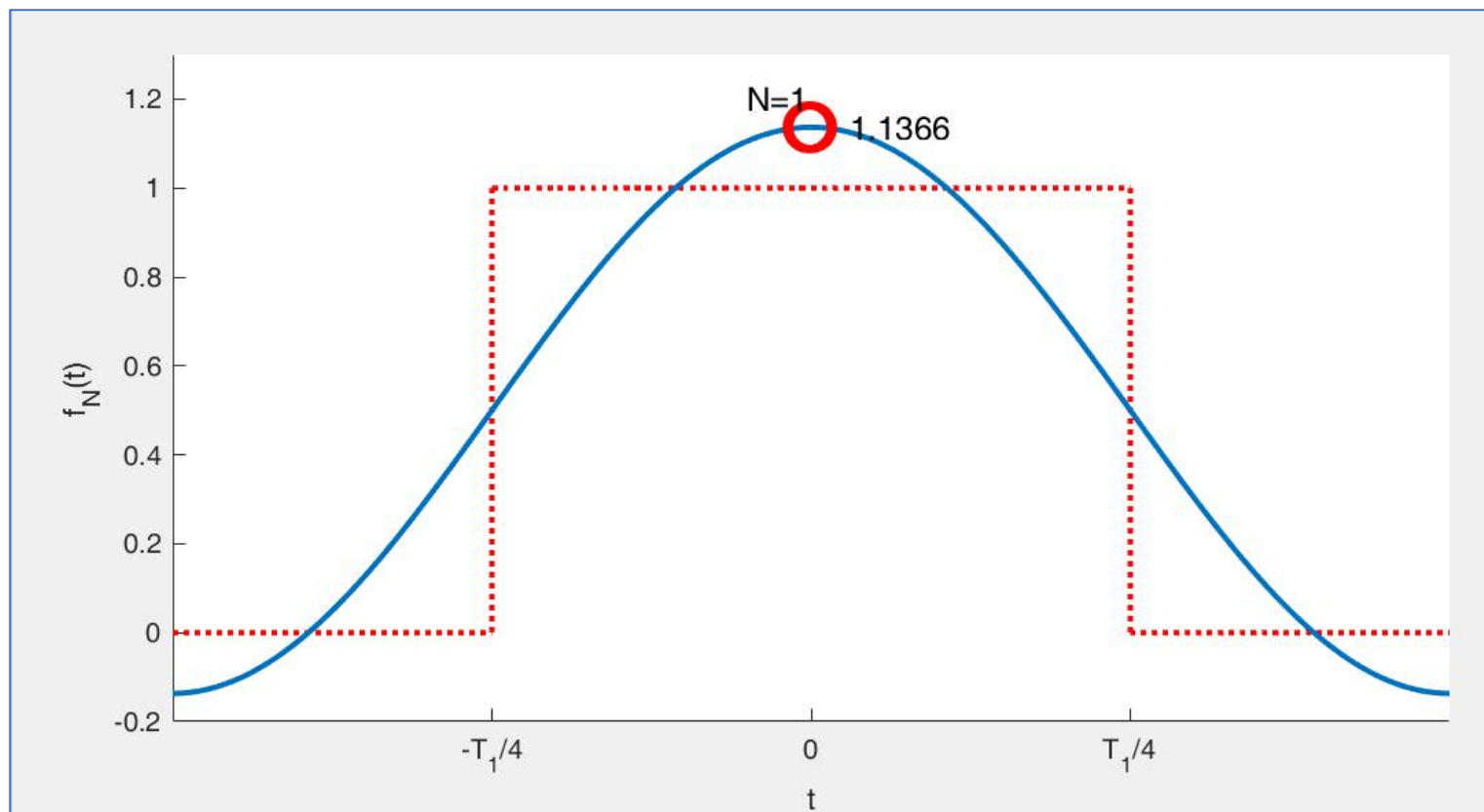
$$f(t) = E \frac{\tau}{T_1} + 2E \frac{\tau}{T_1} \sum_{n=1}^{\infty} \text{Sa} \left(n\omega_1 \frac{\tau}{2} \right) \cos(n\omega_1 t)$$

► (4) 傅里叶级数合成, 占空比为50%



$$f(t) = \frac{E}{2} + \frac{2E}{\pi} \left[\cos(\omega_1 t) - \frac{1}{3} \cos(3\omega_1 t) + \frac{1}{5} \cos(5\omega_1 t) + \dots \right]$$

► (5) 吉伯斯现象



项数越多，方均误差越小，起伏的峰值趋于一个常数，大约为总跳变值的**9%**，这就是**吉伯斯现象**。

► (5) 吉伯斯现象

• 傅里叶级数是在**方均误差最小**原则下的信号分解。对于有不连续点的信号，不连续点处不收敛。

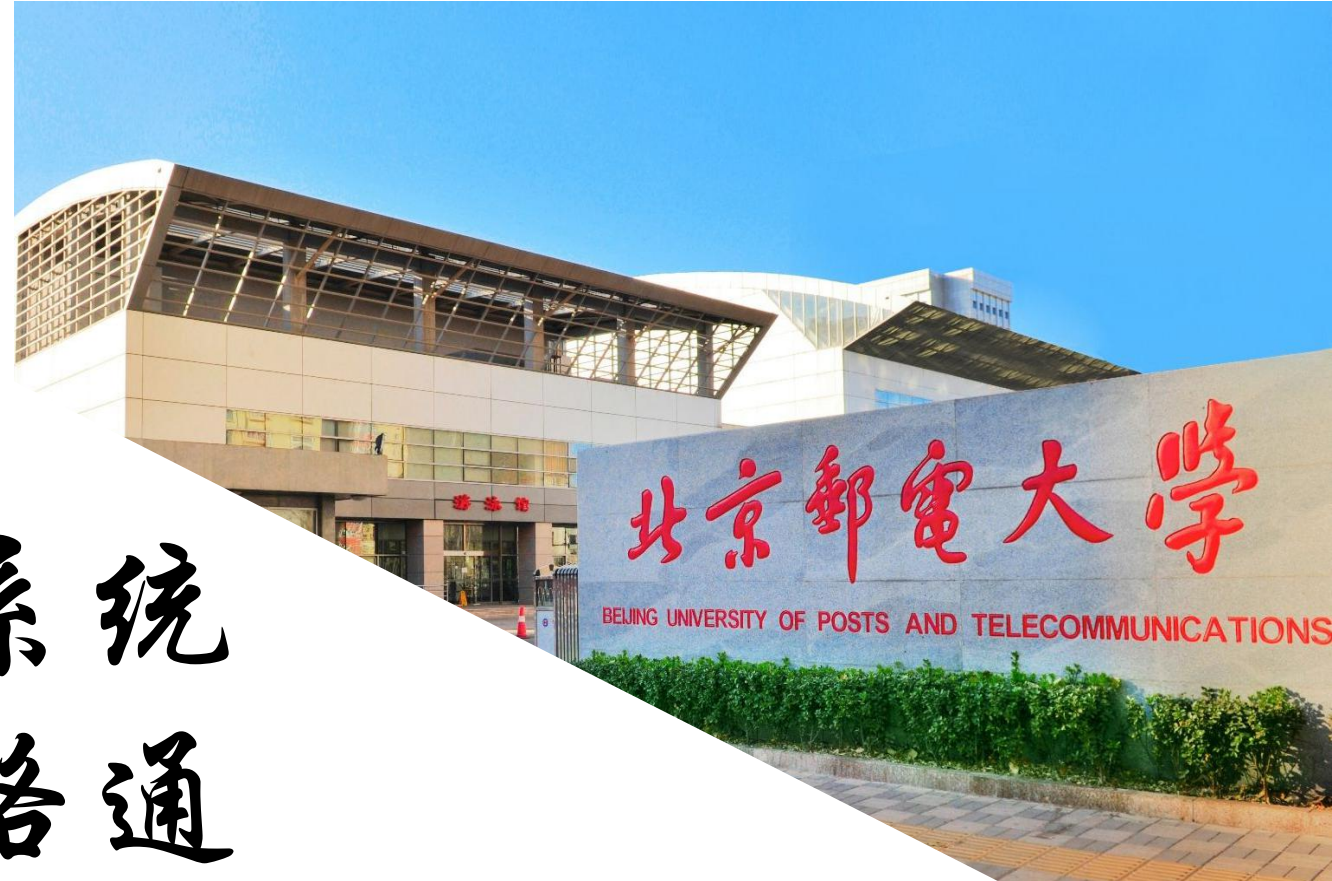
1898年，美国物理学家**米切尔森** (Albert Michelson) 利用自制的谐波分析仪来合成信号。在测试**方波**信号时，**发现**了这种现象。

著名的**数学物理学家吉布斯** (Josiah Gibbs)，吉布斯检查了这一结果，并于1899年**发表**了他的看法。

学习理想低通滤波器分析产生原因。



学好信号与系统 低通高通路路通



北京邮电大学信号与系统
智慧教学研究组